

РАСЧЕТ ГЕОИНДУЦИРОВАННЫХ ТОКОВ В ВЫСОКОВОЛЬТНЫХ ЛИНИЯХ ЭЛЕКТРОПЕРЕДАЧ СИСТЕМ ЭЛЕКТРОСНАБЖЕНИЯ ПРИ ГЕОМАГНИТНЫХ БУРЯХ

© 2012 В.В. Вахнина, Д.А. Кретов, В.А. Кузнецов

Тольяттинский государственный университет

Поступила в редакцию 10.09.2012

Разработан метод расчета геоиндукционных токов при геомагнитных бурях в высоковольтных линиях электропередач систем электроснабжения. Выполнена оценка величины геоиндукционных токов в линиях электропередач класса напряжений 110–330 кВ при разных уровнях напряженности геоэлектрического поля. Показано, что величина геоиндукционных токов в системах электроснабжения может быть соизмерима с рабочими токами линий электропередач.

Ключевые слова: геоиндукционные токи; геомагнитные бури; высоковольтная линия электропередач.

Геомагнитные бури (ГМБ) возбуждают вариации геомагнитного поля Земли, что индуцирует поверхностные потенциалы Земли – геоэлектрические поля с амплитудой $E = 6\text{--}10 \text{ В/км}$, а отдельных случаях до 15 В/км , частотой $f = 0,1\text{--}0,001 \text{ Гц}$, которые в протяженных заземленных системах создают геоиндукционные токи (ГИТ). Поскольку ГИТ не трансформируются силовыми трансформаторами (СТ) их называют квазистационарными токами.

При выполнении системы электроснабжения (СЭС) с эффективно или глухозаземленными нейтралями силовых трансформаторов и, если при этом, точек заземления не менее двух, то в этих случаях в длинных линиях электропередач (ЛЭП) протекают ГИТ до нескольких десятков и даже сотен ампер на фазу, влияя на работу систем электроснабжения [1].

Примером воздействия ГИТ на систему электроснабжения является системная авария во время геомагнитной бури 13 марта 1989 года. Во время этой ГМБ в электроэнергетической системе восточного побережья США вышли из строя автотрансформатор 500/138 кВ мощностью 350 МВА и группы однофазных повышающих трансформаторов 18/500 кВ. В автотрансформаторе наблюдались: перегрев, вызвавший изменение окраски бака в нескольких местах, увеличение содержания гармоник в токе обмотки низкого напряжения с 2 до 9% и усиление шума, создаваемого автотрансформатором, на 10–15 дБ [2].

Вахнина Вера Васильевна, кандидат технических наук, доцент, заведующая кафедрой «Электроснабжение и электротехника». E-mail: V.Vahmina@tltsu.ru

Кретов Дмитрий Алексеевич, аспирант кафедры «Электроснабжение и электротехника».

E-mail: Dmitry.kretov@gmail.com

Кузнецов Виталий Александрович, аспирант кафедры «Электроснабжение и электротехника».

E-mail: V.A.Kuznetcov@yandex.ru

Следует отметить, что современные СЭС более восприимчивы к геомагнитным бурям, чем их локальные предшественники из-за больших географических площадей, которые они занимают, а также из-за их взаимосвязанности и насыщенности электронным оборудованием. В связи с этим актуальным является разработка методов расчета ГИТ для оценки уязвимости современных систем электроснабжения при геомагнитных бурях.

Оценим амплитуды ГИТ в высоковольтных линиях электропередач систем электроснабжения при геомагнитных бурях. На рис. 1 представлен прямолинейный участок линии электропередач ЛЭП длиной l между двумя трансформаторными подстанциями. Трансформаторы T1 и T2 подстанций имеют заземления в точках A и B. Возникающая между этими точками ЭДС $E = E_x l$, обусловленная напряженностью геоэлектрического поля, генерирует геоиндукционные токи.

Геоэлектрическое поле рассчитывается исходя из наблюдаемых вариаций изменений геомагнитного поля и геофизических данных о глубинной электропроводности данного региона (модели проводимости). Для расчета используется стандартная методика перехода от временных рядов к Фурье – образам (частотно-фазовым характеристикам) [3]:

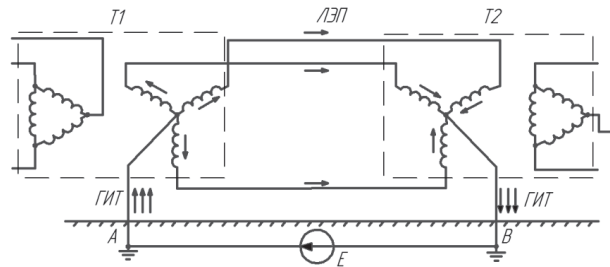


Рис. 1. Протекание ГИТ по обмоткам высокого напряжения трансформаторов и высоковольтной линии электропередач СЭС

$$E_x(\omega) = \frac{z(\omega) \cdot B_y(\omega)}{\mu_0}, \quad (1)$$

где $B_y(\omega)$ – напряженность геомагнитного поля; $z(\omega)$ - импеданс цепи протекания ГИТ; μ_0 – магнитная постоянная; ω – угловая частота.

Электромагнитные и геометрические параметры проводников высоковольтных линий электропередач могут сильно различаться, что оказывает влияние на частотные характеристики результирующих электрических полей и ГИТ. Поэтому расчет ГИТ по геоэлектрическому полю зависит от конкретной конфигурации СЭС.

Для периодов более $1 - 10$ с (т.е. частоты ниже $1 - 0,1$ Гц) амплитуда и фаза электрического поля в проводниках совпадает с характеристиками невозмущенного электрического поля, что позволяет применять законы линейных электрических цепей с активным сопротивлением, где источником является рассчитанное геоэлектрическое поле в данный момент времени, и использовать модели с дискретным заземлением [3].

Эквивалентная схема замещения представлена на рис. 2,а. Здесь R_{T1A} , R_{T1B} , R_{T1C} – сопротивления постоянному току (активные сопротивления) обмоток высокого напряжения трехфазного повышающего трансформатора Т1; R_{LA} , R_{LB} , R_{LC} – сопротивления постоянному току (активные сопротивления) фаз воздушной ЛЭП; R_{T2A} , R_{T2B} , R_{T2C} – сопротивления постоянному току (активные сопротивления) обмоток высокого напряжения трехфазного понижающего трансформатора Т2; R_{3y} – сопротивления заземляющих устройств; R_3 – активное сопротивление грунта.

Активные сопротивления фаз воздушной ЛЭП определяются как

$$\begin{aligned} R_{LA} &= R_{OA} \cdot l; \\ R_{LB} &= R_{OB} \cdot l; \\ R_{LC} &= R_{OC} \cdot l, \end{aligned} \quad (2)$$

где R_{OA} , R_{OB} , R_{OC} – активные погонные сопротивления фаз ЛЭП.

Активное сопротивление грунта:

$$R_3 = R_{3O} \cdot l, \quad (3)$$

где R_{3O} – активное погонное (удельное) сопротивление грунта.

Полную схему замещения (рис. 2,а) необходимо использовать для расчета постоянных составляющих токов фазных обмоток трансформаторов Т1, Т2 и фаз ЛЭП в условиях заметной несимметрии (более 10-15%) активных сопротивлений обмоток ВН и фазных проводов линии электропередачи. Однако специальные конструктивные мероприятия, такие как транспозиция проводов, обеспечивают фазную симметрию активных сопротивлений. В этих условиях полная схема заме-

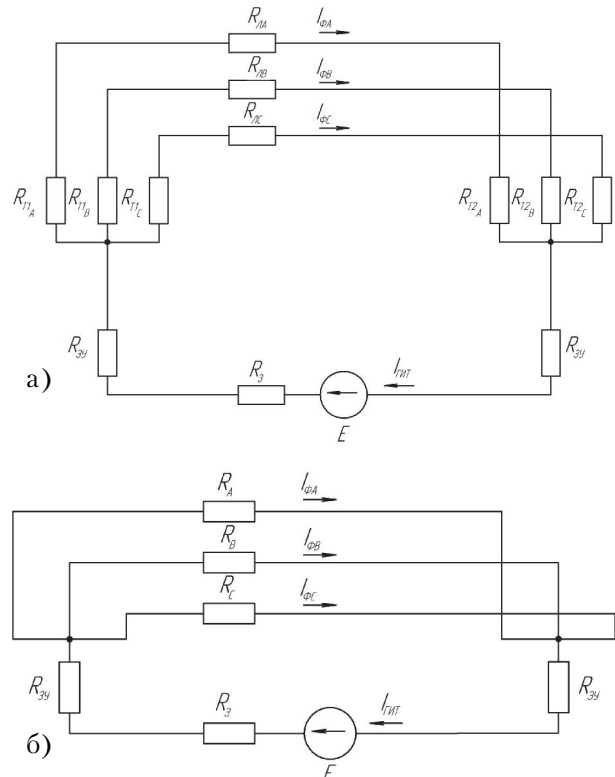


Рис. 2. Схема замещения участка СЭС при протекании ГИТ

щения существенно упрощается к виду, изображеному на рис. 2,б, где

$$\begin{aligned} R_A &= R_{T1A} + R_{LA} + R_{T2A}; \\ R_B &= R_{T1B} + R_{LB} + R_{T2B}; \\ R_C &= R_{T1C} + R_{LC} + R_{T2C}. \end{aligned} \quad (4)$$

Суммарное сопротивление для контура протекания геоиндукционных токов:

$$R_\Sigma = \frac{R_A + R_B + R_C}{3} + 2R_{3y} + R_3. \quad (5)$$

Используя эквивалентную схему, значение ГИТ в нейтрали силового трансформатора можно определить как

$$I_{\text{ГИТ}} = \frac{E_x \cdot l}{R_\Sigma}. \quad (6)$$

Если ЛЭП состоит из нескольких участков, то

$$I_{\text{ГИТ}} = \frac{\int \vec{E}_x(l) dl}{R_\Sigma}, \quad (7)$$

где $\vec{E}_x(l)$ – напряженность геоэлектрического поля, наведенная в грунте на участке dl .

Учитывая, что ЛЭП состоит из прямолинейных участков, формулу (7) можно записать в виде:

$$I = \frac{\sum_{i=1}^n E_i \cos \alpha_i l_i}{R_\Sigma}, \quad (8)$$

Таблица 1. Характеристики высоковольтных ЛЭП и геоиндущированные токи
при напряженности геоэлектрического поля $E=3$ В/км; $E=6$ В/км; $E=10$ В/км; $E=15$ В/км
(передаваемая мощность 125000 кВА)

Классы ЛЭП, кВ	Марка проводы	Длина ЛЭП, км	Рабочий ток в фазе (А)	ГИТ в фазе I_ϕ (А) при			
				$E=3$ В/км	$E=6$ В/км	$E=10$ В/км	$E=15$ В/км
110	AC-185	25-80	627,6	15,5- 17,4	30,9- 34,7	51,7- 57,9	77,5- 86,8
220	AC-400	100-400	313,8	30,6- 37,2	61,3- 74,3	102,2-123,9	153,2-185,8
330	AC-240	130-700	209,2	33,7- 46,5	67,5- 92,9	112,4-154,9	168,6-232,3

где E_i – значение напряженности геоэлектрического поля на i -ом прямолинейном участке ЛЭП; α_i – угол ориентации i -ого участка ЛЭП относительно направления силовой линии геоэлектрического поля; l_i – длина i ого прямолинейного участка ЛЭП; n – количество прямолинейных участков ЛЭП.

Таким образом, величина геоиндущированных токов, наведенных в высоковольтных линиях электропередач при геомагнитных бурях, определяется следующими основными параметрами:

1. скоростью изменения геомагнитного поля при геомагнитной буре и размерами области распространения геомагнитного поля;
2. сопротивлением грунта, сопротивлением заземления;
3. длиной и связанностью линий электропередач;
4. географическим расположением точек, в которых СЭС контактирует с земной поверхностью.

В табл. 1 приведены расчетные значения геоиндущированных токов в фазах ЛЭП для различных классов напряжений при геомагнитной буре с напряженностью геоэлектрического поля: $E=1$ В/км; 3 В/км; 15 В/км. В расчетах принято $R_{3y} = 0,5$ Ом, $R_{30} = 0,048$ Ом/км [4].

Как видно из таб.1, с увеличением класса напряжения линии электропередачи, напряженности геоэлектрического поля геомагнитных бурь значения геоиндущированных токов в высоковольтных линиях электропередач растут. Данное обстоятельство связано с увеличением длин и уменьшением погонного сопротивления высоковольт-

ных ЛЭП. Расчетные значения ГИТ при сильных геомагнитных бурях в линиях электропередач могут быть сопоставимы с их рабочими токами в фазе и, очевидно, привести к насыщению магнитной системы силовых трансформаторов, срабатыванию систем релейной защиты и автоматики и отключению линий электропередач.

Разработанный метод позволяет рассчитывать величины геоиндущированных токов в высоковольтных линиях электропередач в зависимости от конфигурации и параметров схемы замещения системы электроснабжения, а также углов ориентации участков ЛЭП относительно направления силовых линий геоэлектрического поля. Оценка величин ГИТ в линиях электропередач разного класса напряжений позволит исследовать устойчивость систем электроснабжения при геомагнитных бурях различной интенсивности.

СПИСОК ЛИТЕРАТУРЫ

1. Beamish D., Clark T.D.G., Clarke E., Thomson A.W. Geomagnetically induced currents in the UK: geomagnetic variations and surface electric field // J. Atmos. Solar-Terr. Phys. 2002. № 64. pp. 1779-1792.
2. Kappenman J.G. Geomagnetic storms and Their Impact on Power Systems// IEEE Power Engineering Review. May 1996. Pp. 5-8.
3. Pirjola R. Review on the calculation of surface electric and magnetic fields and of geomagnetically induced currents in ground-based technological systems// Surveys in geophysics. 2002. № 23. Pp. 71 - 90.
4. Карякин Р.Н. Заземляющие устройства электроустановок. М.: Энергосервис, 2006. 520 с.

CALCULATION OF GEO INDUCED CURRENTS IN HIGH-VOLTAGE POWER LINES OF ELECTRICITY SUPPLY SYSTEMS AT GEOMAGNETIC STORMS

© 2012 V.V. Vahnina, D.A. Kretov, V.A. Kuznetsov

Togliatti State University

A method for calculating geo induced currents at geomagnetic storms in the high-voltage power lines of electricity supply systems was developed. The estimation of the value geo induced currents in power lines voltage class 110 - 330 kW at different levels of intensity of geoelectrical field. Showing, that the magnitude of geo induced currents in power systems can be comparable with operating currents of high-voltage power lines.

Keywords: geo induced currents, geomagnetic storms, high-voltage power lines.

Vera Vakhnina, Candidate of Technics, Associate Professor, Head at the Power and Electrical Engineering Department.

E-mail: V.Vahnina@tltsu.ru

Dmitriy Kretov, Graduate Student at the Power and Electrical Engineering Department. E-mail: dmitry.kretov@gmail.com

Vitaly Kuznetsov, Graduate Student at the Power and Electrical Engineering Department. E-mail: V.A.Kuznetcov@yandex.ru